

第一届全国科学计算

并行算法论文集

科学计算并行算法交流会筹备组

1989.6

科学出版社

PDG

TP30/46

目 录

圆型方程值问题在MIMD计算机上的并行ICCG算法..... (1)

色散方程的并行数值解法..... (7)

对称区域分裂法..... (14)

Poisson方程Neumann边界分裂法..... (18)

二阶双曲型方程的并行求解..... (28)

求解非定常流体力学问题的区域分裂法..... (31)

求解非定常流体力学问题的区域分裂法..... (34)

求解非定常流体力学问题的区域分裂法..... (38)

求解非定常流体力学问题的区域分裂法..... (45)

求解非定常流体力学问题的区域分裂法..... (49)

求解非定常流体力学问题的区域分裂法..... (54)

求解非定常流体力学问题的区域分裂法..... (61)

求解非定常流体力学问题的区域分裂法..... (66)

求解非定常流体力学问题的区域分裂法..... (69)

求解非定常流体力学问题的区域分裂法..... (75)

求解非定常流体力学问题的区域分裂法..... (82)

求解非定常流体力学问题的区域分裂法..... (88)

求解非定常流体力学问题的区域分裂法..... (92)

求解非定常流体力学问题的区域分裂法..... (95)

求解非定常流体力学问题的区域分裂法..... (107)

求解非定常流体力学问题的区域分裂法..... (113)

求解非定常流体力学问题的区域分裂法..... (119)

求解非定常流体力学问题的区域分裂法..... (125)

求解非定常流体力学问题的区域分裂法..... (131)

求解非定常流体力学问题的区域分裂法..... (137)

求解非定常流体力学问题的区域分裂法..... (141)

求解非定常流体力学问题的区域分裂法..... (150)

椭圆型方程的并行求解..... (158)

色散方程的并行求解..... (163)

对称区域分裂法..... (176)

Poisson方程Neumann边界分裂法..... (191)

二阶双曲型方程的并行求解..... (206)

求解非定常流体力学问题的区域分裂法..... (208)

求解非定常流体力学问题的区域分裂法..... (212)

求解非定常流体力学问题的区域分裂法..... (219)

求解非定常流体力学问题的区域分裂法..... (223)

求解非定常流体力学问题的区域分裂法..... (229)

求解非定常流体力学问题的区域分裂法..... (235)

求解非定常流体力学问题的区域分裂法..... (241)

求解非定常流体力学问题的区域分裂法..... (247)

求解非定常流体力学问题的区域分裂法..... (251)

求解非定常流体力学问题的区域分裂法..... (257)

求解非定常流体力学问题的区域分裂法..... (265)

求解非定常流体力学问题的区域分裂法..... (271)

求解非定常流体力学问题的区域分裂法..... (277)

求解非定常流体力学问题的区域分裂法..... (285)

求解非定常流体力学问题的区域分裂法..... (292)

求解非定常流体力学问题的区域分裂法..... (296)

求解非定常流体力学问题的区域分裂法..... (303)

求解非定常流体力学问题的区域分裂法..... (313)

求解非定常流体力学问题的区域分裂法..... (318)

求解非定常流体力学问题的区域分裂法..... (322)

求解非定常流体力学问题的区域分裂法..... (326)

求解非定常流体力学问题的区域分裂法..... (330)

求解非定常流体力学问题的区域分裂法..... (335)

求解非定常流体力学问题的区域分裂法..... (341)

求解非定常流体力学问题的区域分裂法..... (351)

CHI X-R等 (357)

of numerical linear algebra on three kind of parallel computers.....

The comparison of elementary problems

of numerical linear algebra on three kind

of parallel computers.....

the Drazin inverse Ad.....

Fast Parallel Algorithm for computing

the Drazin inverse Ad.....

有限元结构分析的并行计算.....

The comparison of elementary problems

of numerical linear algebra on three kind

of parallel computers.....

求解非定常流体力学问题的区域分裂法.....

其各阶主子式 $\det(\Delta_i) \neq 0$, 但不需要 $b_i \neq 0$, 这是与 [2] 中给出的公式所不同的。先考虑 Δ 如下
的对称分解

$$\Delta = L^T D L \quad (17)$$

这里

$$L = \begin{bmatrix} 1 & & & & & \\ -r_1 & 1 & & & & \\ & & \ddots & & & \\ & & & 1 & & \\ & & & & 1 & \\ & & & & & 1 \end{bmatrix} \quad D = \begin{bmatrix} d_1 & & & & & \\ & d_2 & & & & \\ & & \ddots & & & \\ & & & d_i & & \\ & & & & \ddots & \\ & & & & & d_n \end{bmatrix}$$

$$\begin{cases} d_n = a_n \\ d_{n-1} = a_{n-1} - d_n r_{n-1}^2 / d_n \\ \dots \\ d_1 = a_1 - d_2 r_1^2 \end{cases} \quad \begin{cases} r_{n-1} = b_{n-1} / d_n \\ r_n = b_n / d_{n-1} \\ \dots \\ r_1 = b_1 / d_2 \end{cases} \quad (18)$$

设 $\Delta^{-1} = L^{-1} D^{-1} (L^{-1})^T = (\delta_{ij})$ 容易计算 δ_{ij} 有如下的递推公式, 其中主对角线上元素的递推
公式为

$$\begin{cases} \delta_{ii} = d_i^{-1} \\ \delta_{2i} = d_i^{-1} + \delta_{11} r_i^2 \\ \dots \\ \delta_{in} = d_i^{-1} + \delta_{n-1, n-1} r_{i-1}^2 \end{cases} \quad (19)$$

第 (k-1) 非主对角线上元素的递推公式为

$$\begin{cases} \delta_{k, k-1} = d_k^{-1} r_{k-1} \dots r_{k-1} \\ \delta_{k, k+1} = d_k^{-1} r_k \dots r_k + \delta_{k+1, k+1} \cdot r_k \\ \dots \\ \delta_{k, n-k+1} = d_k^{-1} r_k \dots r_k + \delta_{n-k, n-k} r_{k-1} + \delta_{n-k, n-k} r_{k-1} r_{k-1} \end{cases} \quad (20)$$

对于非对称的三对角矩阵, 在上述同样条件下, 可以推荐类似的递推公式。

§ 3 算法的一个修正及数值计算举例

上述算法中一个问题在于对同样的网格划分当处理器增加时, 即每条子区域缩小, 则其迭代
收敛速度将严重下降, 甚至没有收敛 (Spurious), 数值例见下列表 1。究其原因, 1. 总误差 ϵ 于 K 的不
完全分解在二个方面 1) 用近似逆矩阵代替了精确的三对角矩阵的逆矩阵, 2) 在边界部分有剩
余矩阵 $R \neq 0$ 存在, 当子区域 Ω_k 增多时, 其边界部分也增加, 为改善收敛速度, 我们设法在边界
部分是完全分解或更接近于完全分解, 考虑下面的 Preconditioner \bar{K}

$$\bar{K} = P \bar{\Lambda}^{-1} P^T \quad (21)$$



其中

$$\bar{K} = P \bar{\Lambda}^{-1} P^T \quad (22)$$

这里 $K_1, C_{11}, C_{12}, C_{21}, C_{22}, C_{31}, C_{32}, C_{41}, C_{42}$ 与 § 2 中相应的矩阵同。

$$\begin{cases} \Lambda_{ii} = D_i \\ \Lambda_{ij} = D_{ij} - B_{ij} \Lambda_{jj}^{-1} B_{ij}^T \\ \dots \\ \Lambda_{in} = D_{in} - B_{in} \Lambda_{nn}^{-1} B_{in}^T \end{cases} \quad (8)$$

$$\Lambda_{ii} = D_{ii} - B_{ii} \Lambda_{ii}^{-1} B_{ii}^T - C_{ii} \Lambda_{ii}^{-1} C_{ii}^T \quad (9)$$

$$u_i = (u_{i1}, u_{i2}, \dots, u_{im})^T \quad (10)$$

我们把上面各式中 K_i, Λ_i 以及未知向量 u_i 和右端项 f_i 放在
第 i 个处理器 P_i 的局部存储器中, 而边界部分的矩阵 Λ_i 及 C_{ij}, C_{ji} 和未知向量 u_{ij} 也放在
 P_i 的局部存储器中。这样解 $Kx = f$ 可以分成以下三步进行。

$$P_i y^{(0)} = r^{(0)} \quad (11)$$

$$\begin{cases} y^{(0)} = \Lambda_{ii}^{-1} r^{(0)} \\ \dots \\ y^{(0)} = \Lambda_{ii}^{-1} (r^{(0)} - B_{ij} u_{ij}^{(0)}) \end{cases} \quad (12)$$

$$y^{(0)} = z^{(0)} = \Lambda^{-1} (r^{(0)} - C_{00} y^{(0)} - C_{0j} u_{j0}^{(0)}) \quad (13)$$

$$\Lambda^{-1} P_i z^{(0)} = y^{(0)} \quad (14)$$

$$\begin{cases} z^{(0)} = y^{(0)} - \Lambda_{ii}^{-1} C_{ij} y^{(0)} \\ z^{(0)} = y^{(0)} - \Lambda_{ii}^{-1} B_{ij} u_{ij}^{(0)} \\ \dots \\ z^{(0)} = y^{(0)} - \Lambda_{ii}^{-1} (B_{ij} z^{(0)} - C_{ij} u_{ij}^{(0)}) \end{cases} \quad (15)$$

容易验证, 上述 K 是对称正定矩阵, 因而上述 ICCG 算法是收敛的。从以上算法中可以看出, 对
(4) 每迭代一次, 解第一式时需对边界上未知量作两次局部数据通讯, 即相邻的处理器之间数
据通讯, 解其它各式时需计算二个内积 $(z^{(0)}, Kz^{(0)})$ 和 $(z^{(0)}, Ap^{(0)})$, 需二次整体数据通讯, 因
此数据通讯量是不小的。

注 1. 上面各式中需计算若干个三对角子矩阵的逆, 通常这样的逆矩阵是稀疏的, 因而 K 和
 P 不再有稀疏性, 为节省存储及运算量, 我们采用 [2] 中办法用近似的逆矩阵来代替精确的逆
矩阵, 亦即用一三对角矩阵, 其元素与精确的逆矩阵相应的元素相同, 而其它元素为 0, 因此下
面我们给出一个三对角矩阵精确求逆的递推公式, 它是按主对角线以及各条与之平行的非主
对角线上元素给出。

设矩阵

$$\Delta = \begin{bmatrix} a_1 & & & & & \\ -b_1 & a_2 & & & & \\ & & \ddots & & & \\ & & & a_i & & \\ & & & & \ddots & \\ & & & & & a_n \end{bmatrix} \quad (16)$$

CG 算法 [1] 且 \bar{c}_i 与 \bar{c}_{i+1} 取精确的矩阵的二次收敛速度, 最后一行为 $N=1$ 即逐行串行算法的迭代收敛速度。

参 考 文 献

[1] G. Meurant, Multitasking the Conjugate Gradient Method on the CRAY X-MP/48, Parallel computing, 5(1987), 267-280
 [2] P. Concus, G. H. Golub, G. Meurant, Block Preconditioning for the conjugate Gradient Method, SIAM J. sci. stat. comput. 6(1985), 220-252.
 [3] J. A. Meijerink, H. A. van der vorst, An iterative solution Method for Linear System of which the coefficient Matrix is a symmetric M-Matrix, Math. comput. 31 (1977), 148-162.
 [4] J. A. Meijerink, H. A. van der vorst, Guideline for the usage of Incomplete Decompositions in solving sets of Linear Equations, J. Comput. physics 44(1981), 134-155.
 [5] J. H. Bramble, J. E. Pasciak, A. H. schatz, the construction of Preconditioners for Elliptic Problem by substructuring, I, Math Comput. 47(1980), 103-134.
 [6] G. H. Golub, D. Mayers, The use of Pre-conditioning over Irregular Regions, Proc. Sixth Internat. conf. on computing Methods in Science and Engineering. 1984, 3-14.
 [7] J. X. Wang A. Krechel, H. Plum, The Preconditioned conjugate Gradient (PCG) Algorithm on MIMD computers (to appear)

$$\begin{cases} C_{11} = -B_1 \Lambda_1^{-1} C_{11}^{-1} & (i=1, 2, \dots, n) \\ \bar{\Lambda}_1 = B_1 - C_{11} \Lambda_1^{-1} C_{11}^{-1} \\ \bar{\Lambda}_2 = -C_{21} \Lambda_1^{-1} C_{11}^{-1} \end{cases} \quad (23)$$

$$\bar{\Lambda} = \begin{bmatrix} \Lambda_1 & & \\ & \Lambda_2 & \\ & & \Lambda_3 \\ & & & \ddots \\ & & & & \Lambda_n \end{bmatrix} \quad (24)$$

在计算中矩阵的逆仍取三对角的近似逆矩阵, C_{ij} 取近似例如只取主对角线一行或取三对角线, 边界部分 $\bar{\Lambda}_{ij}$ 可以略去, 计算表明, 这样仍可大大改善并行迭代收敛速度, 而并不增加许多运算量, 计算结果见表 2。

数值计算举例

例 1
$$\begin{cases} u_{xx} + u_{yy} = 0(x, y) \in \Omega = (0, 1) \times (0, 1) \\ u = 0.1 \quad (xy) \in \partial\Omega \end{cases}$$

取 $h = 1/32$, 剩余 $r = 10^{-4}$, 平均迭代收敛速度 $v = \left(\frac{r_0}{r_n}\right)^{1/n}$, N 为处理器个数, m 为使剩余 r_n 降到: 所需迭代次, 在并行计算机 ipsc 上计算结果如下

N	r = 1					r = 100				
	m	v	m	v	r _n	m	v	m	v	r _n
1	0.248	13	0.045	5						
2	0.350	17	0.485	...						
4	0.411	19	0.573	30						
8	0.476	23	0.702	45						

表 1 § 2 中算法计算结果

例 2 问题同上, 取 $h = 1/16, N = 2, \epsilon = 100$ j 为 (23) 中第一式 $c_j \neq 0$, 而 $c_{j+1} = 0$ 之值

j	m = 2		m = 4		m = 8		m = 16	
	v	r _n	v	r _n	v	r _n	v	r _n
1	15	0.325	19	0.385				
2	13	0.280	17	0.299				
3	12	0.244	16	0.258				
4	11	0.201	14	0.223				
5	9	0.161	12	0.178				
6	8	0.110	11	0.145				
7	5	0.045	9	0.051				
8	3	0.0047	9	0.080				

表 2 § 3 中算法计算结果

注 2: 表 2 中头二列结果 $c_j (j=1, \dots, 8)$, 仅取主对角线元素, 其余元素为 0, 后二列为逐点 IC

The Parallel ICCG Algorithm on MIMD Computer for Elliptic Problems

Wang Jinxian

(Computing Center, Academia Sinica)

Abstract

In this paper, we discuss a parallel ICCG Algorithm on MIMD computer by which we can obtain the same rate of convergence in any processors and in one processor.

色散方程的并行数值解法

南开大学 黎光禹 于广涛
摘 要

本文考察下述模型

$$U_t = aU_{xxxx} \quad (1)$$

$$U(x, 0) = \varphi(x), \quad -\infty < x < \infty, \quad 0 < t \leq T \quad (2)$$

的周期解问题, 其中 a 为常数。设周期为 L 。对上述问题的三层显格式的近似解作外推, 可以使近似解的精度达到 $O(h^3) + O(\tau^2)$ 。作并行处理之后, 求解过程可以在流水线并行机上高效率地进行。

1. 引 言

孤波的产生, 引起了数学工作者及数值工作者的兴趣。由于KDV方程 $U_t + U U_x = 0$ 的差分格式的建立, 在某种程度上可以看成方程 $U_t + U U_x = 0$ 和 $U_t = 0$ 的叠加。对于 $U_t + U U_x = 0$ 大家比较熟悉, 因此, 对 (1) - (2) 如何建立高精度、高稳定性的差分格式, 日渐成为人们感兴趣的问题。文献 [1]、[2] 提出的包络方程差分格式的三层显格式, 数值稳定性较差。文献 [3] 是在周期为 L 的情况下对周期解建立的三层 (特殊情况下是两层) 差分格式, 虽然绝对稳定, 但断阶误差高, 尚待断阶误差为 $O(\tau^2) + O(h^3)$, 可惜的是, 不利于并行计算。文献 [4] 提出的绝对稳定的半显式格式, 其精度不高且不利于并行计算。文献 [5] 中提出的三层显格式 H_3 :

$$\begin{aligned} & (u_{m+\frac{1}{2}}^{n+1} - u_{m-\frac{1}{2}}^{n+1} + u_{m-\frac{1}{2}}^n - u_{m+\frac{1}{2}}^n) \\ & = a [p(u^n, m) + 2p(u^n, m) + p(u^n, m-1)] / 4h^3, \end{aligned}$$

其中

$$p(u^n, m) = u_{m+\frac{1}{2}}^n - 3u_{m-\frac{1}{2}}^n + 3u_{m-\frac{1}{2}}^n - u_{m-\frac{1}{2}}^n.$$

当 $a > 0$ 时, 稳定性条件 $R = a\tau/h^3 \leq 1.1851$, 而断阶误差 $O(\tau^2) + O(h^3)$ 。其稳定性范围较大, 但是为了稳定性必须取 $\tau = O(h^3)$, 因此实际断阶误差为 $O(h^3)$ 。为了求出具有精度为 10^{-4} 的近似解, 必须取 $h = 10^{-2}$, 因而 $\tau = 10^{-6}$, 这样, 计算量十分庞大。为了减少计算量, 我们在上述的基础上建立近似解的渐进展开式, 利用外推的思想建立新的数值解法。在 $R = |a|\tau/h^3 \leq 1.1851$ 的条件下, 本文外推格式可以使断阶误差达到 $O(\tau^2 h^3) + O(h^3)$, 考虑到 $\tau = O(h^3)$, 断阶误差实际上为 $O(h^3)$ 。这样, 若要逼近解的精度为 10^{-4} , 只需取 $h = 10^{-2}$, $\tau = h^3 = 10^{-6}$, 10^{-6} , 可以估计出, 本文格式的工作量大约为 H_3 的工作量的 10^3 倍。

2. 引 理

为了估计近似解渐进展开式的余项, 我们需要建立一个引理, 为此, 我们引用如下结果 (参考文献 [6]):

对于写成向量形式的差分方程

$$A^{(k)} u^{(k)} = B^{(k)} u^{(k)} + \tau f^{(k)} \quad (3)$$

其中

$$u^{(k)} = [u_1^k, u_2^k, \dots, u_m^k]^T, \quad f^{(k)} = [f_1^k, f_2^k, \dots, f_m^k]^T,$$

$$A^{(k)} = [a_{j,m}^{(k)}]_{j,m=1}^N, \quad B^{(k)} = [b_{j,m}^{(k)}]_{j,m=1}^N.$$

引入最大模 $\|u^{(k)}\| = \max |u_m^k|$, 则我们有:

定理 1 设矩阵 A 的逆当 $0 < \tau < \tau_0$, $h = g(\tau)$ 关于 k 一致有界, 且差分格式 (3) 关于初值稳定, 则格式 (3) 的解有估计式:

$$\|u^{(k)}\| \leq M (\|u^{(0)}\| + \tau \sum_{j=1}^k \|f^{(j)}\|), \quad \text{对任何 } k, 0 \leq k \leq J, 0 < \tau < \tau_0,$$

其中 $J = \lfloor T/\tau \rfloor$, M 与 τ, h, k, J 无关。

于是, 我们可以建立如下引理:

引理 对于三层显格式差分方程

$$\begin{aligned} & (u_{m+\frac{1}{2}}^{n+1} - u_{m-\frac{1}{2}}^{n+1} + u_{m-\frac{1}{2}}^n - u_{m+\frac{1}{2}}^n) \\ & = \frac{a}{4h^3} [p(u^n, m+1) + 2p(u^n, m) + p(u^n, m-1)] + \sigma_{m+\frac{1}{2}}^n \quad (4) \end{aligned}$$

其中 $\sigma_{m+\frac{1}{2}}^n = \frac{1}{4h^3} [c_1 \tau^2 h^3 + c_2 h^3]$, $c_1, c_2 > 0$, 与 τ, h, m, n 无关。

的解 $u_{m+\frac{1}{2}}^n$ 当 $R = |a|\tau/h^3 \leq 1.1851$ 时, 满足不等式

$$\|u_{m+\frac{1}{2}}^n\| \leq c_1 \tau^2 h^3 + c_2 h^3, \quad n=1, 2, \dots, \lfloor T/\tau \rfloor, \quad m=\frac{1}{2}, \dots, \frac{N-1}{2}$$

证明, 令 $u^n = [u_1^n, u_2^n, \dots, u_m^n]^T$, 则 (4) 式可表示如下:

$$u^{n+1} = B u^n + C u^n + 2\tau \sigma^n$$

$$\text{可以写成: } \begin{pmatrix} u^{(n+1)} \\ v^{(n+1)} \end{pmatrix} = \begin{pmatrix} B & C \\ \tau \sigma & \tau \sigma \end{pmatrix} \begin{pmatrix} u^{(n)} \\ v^{(n)} \end{pmatrix} + 2\tau \sigma^n$$

$$\text{令 } W^n = \begin{pmatrix} u^{(n)} \\ v^{(n)} \end{pmatrix}, \quad W^{n+1} = H W^n + 2\tau \sigma^n, \quad H = \begin{pmatrix} B & C \\ \tau \sigma & \tau \sigma \end{pmatrix}$$

$$\text{当 } R \leq 1.1851 \text{ 时, 由引理 1: } \|W^n\| \leq M (\|W^0\| + \tau \sum_{j=1}^n \| \sigma^j \|)$$

$$\leq (c_1 \tau^2 h^3 + c_2 h^3) \tau \sum_{j=1}^n \| \sigma^j \|$$

$$\leq c_1 \tau^2 h^3 + c_2 h^3 \quad (J = \lfloor T/\tau \rfloor), \text{ 引理得证.}$$

3 渐进展开式的建立

下面, 我们建立问题 (1) - (2) 的近似解的渐进展开式, 为此, 我们假定:

(1) 问题 (1) - (2) 的初值充分光滑, 因而它的解 U 足够光滑。

则显然有

$$| \eta_{m+1}^{(j)} | < c_1 \tau^2 h + c_2 h^2$$

由于 $\eta_{m+1}^{(j)} = (A)_{m+1}^{(j)}$, $(A)_{m+1}^{(j)} = (B)_{m+1}^{(j)} = (C)_{m+1}^{(j)} = (D)_{m+1}^{(j)} = (E)_{m+1}^{(j)}$
 $= (F)_{m+1}^{(j)} = 0$, 故 $\eta_{m+1}^{(j)} = 0$ $m = \frac{1}{2}, \frac{3}{2}, \dots, N - \frac{1}{2}$;
 所以: $\eta_{m+1}^{(j)}$ 是差分方程

$$\begin{aligned} & \frac{\eta_{m+1}^{(j)} - \eta_{m-1}^{(j)} + \eta_{m+1}^{(j)} - \eta_{m-1}^{(j)}}{2\tau} - \eta_{m+1}^{(j)} - \eta_{m-1}^{(j)} - \frac{\omega}{4h^2} [p(\eta_m^{(j)}, m+1) + 2p(\eta_m^{(j)}, m) \\ & + \frac{p}{2}(\eta_m^{(j)}, m-1) + q(h^2) + o(\tau h)] + o(\tau h)^2 = 0 \\ & \eta_{m+1}^{(j)} = \phi(x_{m+1}) + \tau \phi_{x'}(x_{m+1}) + \frac{\tau^2}{2} h \phi_{x''}(x_{m+1}) + \frac{\omega \tau^2}{2} \phi_{x'''}(x_{m+1}) \\ & + \frac{\omega}{2} \tau^2 h \phi_{x'''}(x_{m+1}) - \frac{\omega}{2} \tau^2 h \phi_{x'''}(x_{m+1}) \end{aligned}$$

$\eta_{m+1}^{(j)} = 0$ $m = \frac{1}{2}, \dots, N - \frac{1}{2}$, $n = 1, \dots, J$.
 的解, 满足前文引理条件, 故有 $|\eta_{m+1}^{(j)}| < c_1 \tau^2 h + c_2 h^2$
 其中 c_1, c_2 与 τ, h, m, n 无关, $c_1, c_2 > 0$. $m = \frac{1}{2}, \dots, N - \frac{1}{2}$, $n = 1, 2, \dots, J$.
4. 外推的推广

本段讨论 (11) 式在计算机上的实施, 在实际计算中, 为保证差分格式的稳定性, 应当取 $\tau h = \text{常数} < 1.1831/|a|$. 本算法是利用多盒网格, 消去 A、B、C、D、E 和 F, 以达到提高近似解精度的目的, 假设 $(u)_{m+1}^{(j)}$ 是 $(u)_{2m+1}^{(j)}$ 的 2^m 次插值, $(u)_{m+1}^{(j)}$ 代表长分别为 $(\frac{\tau}{2}, \frac{\tau}{2})$ 、 $(\frac{\tau}{4}, \frac{\tau}{4})$ 、 $(\frac{\tau}{8}, \frac{\tau}{8})$ 的问题 (1)-(2) 的解在同一节点处的值, 对 A、B、C、D、E 和 F 有类似的表示, 由 (11) 式可以有:

$$\begin{bmatrix} (u)_{m+1}^{(j)} \\ (u)_{m+1}^{(k)} \\ (u)_{m+1}^{(2m)} \\ (u)_{m+1}^{(2m+1)} \end{bmatrix} = \begin{bmatrix} h^2 & h^2 & \tau h & \tau h^2 & \tau^2 \\ \frac{1}{2} h^2 & \frac{1}{2} h^2 & \frac{1}{2} \tau h & \frac{1}{2} \tau^2 h & \frac{1}{2} \tau^2 h^2 \\ \frac{1}{4} h^2 & \frac{1}{4} h^2 & \frac{1}{4} \tau h & \frac{1}{4} \tau^2 h & \frac{1}{4} \tau^2 h^2 \\ \frac{1}{8} h^2 & \frac{1}{8} h^2 & \frac{1}{8} \tau h & \frac{1}{8} \tau^2 h & \frac{1}{8} \tau^2 h^2 \end{bmatrix} \times \begin{bmatrix} (A)_{m+1}^{(j)} \\ (B)_{m+1}^{(j)} \\ (C)_{m+1}^{(j)} \\ (D)_{m+1}^{(j)} \\ (E)_{m+1}^{(j)} \\ (F)_{m+1}^{(j)} \end{bmatrix} + \begin{bmatrix} \eta_{m+1}^{(j)} \\ \eta_{m+1}^{(k)} \\ \eta_{m+1}^{(2m)} \\ \eta_{m+1}^{(2m+1)} \end{bmatrix}$$

将上述矩阵的第一、二、三、四行分别乘以 $-\frac{1}{360}, -\frac{1}{45}, -\frac{229}{320}$ 和 $\frac{1025}{315}$, 然后将它们相加可以得到:

$$\begin{aligned} & -\frac{1025}{315} \eta_{m+1}^{(j)} - \frac{229}{320} \eta_{m+1}^{(k)} + \frac{1}{45} \eta_{m+1}^{(2m)} - \frac{1}{360} \eta_{m+1}^{(2m+1)} + (u)_{m+1}^{(j)} \\ & = \frac{1025}{315} (u)_{m+1}^{(j)} - \frac{229}{320} (u)_{m+1}^{(k)} + \frac{1}{45} (u)_{m+1}^{(2m)} - \frac{1}{360} (u)_{m+1}^{(2m+1)} \end{aligned}$$

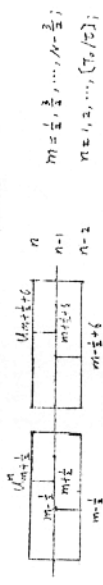
于是我们得到一个新的近似解:

$$\bar{u}_{m+1}^{(j)} = \frac{1025}{315} (u)_{m+1}^{(j)} - \frac{229}{320} (u)_{m+1}^{(k)} + \frac{1}{45} (u)_{m+1}^{(2m)} - \frac{1}{360} (u)_{m+1}^{(2m+1)}$$

它具有的精度为 $|(u)_{m+1}^{(j)} - \bar{u}_{m+1}^{(j)}| < O(h^5)$.

5. 并行处理

为了使流水线并行机能够高效率工作, 必须: 1) 向量越长越好; 2) 数据就不致于中断或阻塞; 为此, 应该使数据的相关性尽可能减少。



如图所示, 计算 $u_{m+1}^{(j)}$ 和 $u_{m+1}^{(k)}$ 时所用数据完全无关。因此, 计算次序可以按如下安排:

- $u_1^j, u_2^j, \dots, u_{4+6k}^j, \quad (4+6k \leq N-10+6k)$
- $u_1^k, u_2^k, \dots, u_{5+6k}^k, \quad (5+6k \leq N-11+6k)$
- $u_2^j, u_3^j, \dots, u_{6+6k}^j, \quad (6+6k \leq N-12+6k)$
- $u_1^j, u_2^j, \dots, u_{7+6k}^j, \quad (7+6k \leq N-13+6k)$
- $u_3^k, u_4^k, \dots, u_{8+6k}^k, \quad (8+6k \leq N-14+6k)$
- $u_4^j, u_5^j, \dots, u_{9+6k}^j, \quad (9+6k \leq N-15+6k)$

因此, 可设置向量如下:

- $V_1^j = (u_1^j, \dots, u_2^j, \dots, u_3^j, \dots, u_4^j, \dots, u_5^j)^T$
- $V_2^j = (u_2^j, \dots, u_3^j, \dots, u_4^j, \dots, u_5^j, \dots, u_6^j)^T$
- $V_3^j = (u_3^j, \dots, u_4^j, \dots, u_5^j, \dots, u_6^j, \dots, u_7^j)^T$
- $V_4^j = (u_4^j, \dots, u_5^j, \dots, u_6^j, \dots, u_7^j, \dots, u_8^j)^T$
- $V_5^j = (u_5^j, \dots, u_6^j, \dots, u_7^j, \dots, u_8^j, \dots, u_9^j)^T$
- $V_6^j = (u_6^j, \dots, u_7^j, \dots, u_8^j, \dots, u_9^j, \dots, u_{10}^j)^T$
- $V_7^j = (u_7^j, \dots, u_8^j, \dots, u_9^j, \dots, u_{10}^j, \dots, u_{11}^j)^T$

则计算过程可按下式向量化地进行, (令 $\gamma = a\tau / 2h^2$)

$$V_2^{j+1} = \gamma V_2^j - \gamma V_2^k + (1-2\gamma) V_2^j + (2\gamma-1) V_2^k + \gamma V_2^j - \gamma V_2^k + V_2^{j+1}$$

注 5: 对于发展方程来讲上面的方法同样成立, 参见文献[1][2].

参考文献

- [1] Rao Chwan-Xia: Symmetric domain decomposition: an exact procedure for solving linear PDE's. in Kang Li-Shan (ed): Parallel Algorithms and Domain Decomposition. Univ. of Wuhan Press (1987) 161-176.
- [2] Shao Jian-Ping, Kang Li-Shan: Symmetric domain decomposition for linear operator equations, as same as in [1], 177-185.
- [3] 吕涛: 对称区域分裂算法的构造与推广, 并行算法论文集, 国防科工委军用数学软件专业组编 (1988)
- [4] P. E. Björsted and G. B. Hildund: Solving elliptic problems on regions partitioned into substructures. SIAM J. Numer. Anal. vol. 23 (1986)
- [5] 华罗庚: 从单位圆谈起, 科学出版社, (1977)

Poisson 方程 Neumann 边值问题的 区域分裂快速解法

侯益者 王能通
(华中理工大学数学系)

摘 要

本文提出矩形区域上求解 Poisson 方程 Neumann 边值问题的约化区域分裂快速解法。基于特殊的块三对角矩阵的 Chebyshev 多项式表示, 可以取得子区域快速收敛分析, 由此不必求出容量矩阵, 而且快速收敛。Fourier 变换和三角角方程的求解都带容量方程的求解, 子区域上 Poisson 方程 Dirichlet 边值问题的求解可独立地进行。文中, 我们对算法的收敛性作了理论分析, 并且具体考察了算法在建立方多处理机系统上的执行方案, 给出了算法的收敛性分析, 通过与基于 Fourier 分析的块分裂法相比较, 证实了区域分裂快速解法是一种有效的建立方算法。

1. 引 言

区域分裂法是在并行多处理机系统上数值求解椭圆边值问题的有效方法。区域分裂法与不重叠法情形, 本文考虑的是重叠情形。通过区域分裂, 把高维边值问题分解成低维问题, 从而不必求出容量矩阵 (包含环型本征值的迭代方程) 和子区域上问题的求解。一般地, 把矩阵元素用低维问题容量方程的解来代替 [1]。因为它不要求直接求出容量矩阵 (容量矩阵的求解将带来巨大代价)。于 Cheung, C. Kesseler [2] 研究了矩形区域上求解 Poisson 方程 Dirichlet 边值问题的区域分裂法, 通过对容量矩阵的收敛性分析, 他们提出了一种不求出容量矩阵而求解容量方程的迭代方法。但其中的分析法计算量很大, 难以应用于其它边值问题。

本文提出矩形区域上求解 Neumann 边值问题的约化区域分裂快速解法。基于特殊的块三对角矩阵时 Chebyshev 多项式表示, 我们取得了容量矩阵的快速收敛分析, 从而不必求出容量矩阵而得到容量方程的解。文中所给各方法具有最佳的通用性。

在多处处理系统中, 各处理机之间互连的拓扑结构是块状或环状的。本文考虑的是块状拓扑结构。在建立快速解法时, 我们首先考虑的是并行算法的收敛性。本文通过对快速解法在建立方机上的收敛性分析, 以及基于 Fourier 分析的块分裂法收敛性的分析, 验证了快速解法是一种有效的建立方算法。

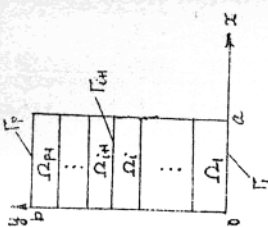
本文的论题如下。第二节讨论区域分裂快速解法 (包括一般的区域分裂法, 容量矩阵的快速收敛分析, 和区域分裂快速解法), 第三节讨论算法的收敛性。第四节分析区域分裂快速解法和基本 Fourier 分析的收敛性在建立方机上的收敛性, 从而得出比较结论。

2 区域分裂快速解法

2.1 一般的区域分裂法

考虑 Poisson 方程的 Neumann 边值问题

$$\begin{cases} -\Delta u = f, & \text{in } \Omega, \quad \Omega = \{(x, y) \mid 0 < x < a, 0 < y < b\} \\ \partial u / \partial n = g, & \text{on } \partial \Omega. \end{cases} \quad (2.1)$$



如图面所示，将 \$\Omega\$ 分成 \$n-1\$ 个矩形区域 \$\Omega_i\$ (\$i=1, \dots, n-1\$)，记子区域 \$\Omega_i\$ 与 \$\Omega_{i+1}\$ 的界面为 \$\Gamma_{i+1}\$，\$\Omega_i\$ 与 \$y=0\$ 之界面为 \$\Gamma_i\$，\$\Omega_{n-1}\$ 与 \$y=b\$ 之界面为 \$\Gamma_n\$。

仿照文(7)的方法将(2.1)作差分成格式函数。

按 \$x\$ 方向和 \$y\$ 方向的网格步长分别为 \$h_x\$ 和 \$h_y\$，\$h_x = a/n\$，\$h_y = b/m\$，子区域 \$\Omega_i\$ 在 \$y\$ 方向所包含的内格点数为 \$m\$ (1)，则

$$\sum_{j=1}^m m(i) \cdot P = m^2 i$$

若将格点编号如图为：先编子区域上的节点，后编界面上的节点，且每个子区域(齐顶)上节点的编号都为从下到上，从左到右，这样，离散后的方程组可写成

$$\begin{bmatrix} L_n & R \\ Q & L_{\Gamma} \end{bmatrix} \begin{bmatrix} U_n \\ U_{\Gamma} \end{bmatrix} = \begin{bmatrix} F_n \\ F_{\Gamma} \end{bmatrix}$$

$$\text{其中 } \begin{bmatrix} L_n \\ L_{\Gamma} \end{bmatrix} = \begin{bmatrix} R_1 & R_2 & \dots & R_n \\ L_{n-1} & L_{n-2} & \dots & L_1 \\ L_{\Gamma} & L_{\Gamma} & \dots & L_{\Gamma} \end{bmatrix}$$

$$R = \begin{bmatrix} 2R_1^T & R_2^T & \dots & R_n^T \\ R_1 & 2R_2 & \dots & R_n \\ \vdots & \vdots & \ddots & \vdots \\ R_n & R_{n-1} & \dots & 2R_n \end{bmatrix}$$

$$L_{\Gamma} = \begin{bmatrix} T & -I \\ -I & T \\ \vdots & \vdots \\ -I & T \end{bmatrix} \quad R_{\Gamma i} = \begin{bmatrix} -I \\ 0 \\ \vdots \\ 0 \\ -I \end{bmatrix}$$

$$T = \begin{bmatrix} 2\alpha & 2\beta & & \\ & 2\alpha & 2\beta & \\ & & \ddots & \ddots \\ & & & 2\alpha & 2\beta \\ & & & & 2\alpha \end{bmatrix} \quad (\beta = \gamma h_y / h_x, \quad \alpha = (1 + \rho^2) / \rho)$$

\$U_n, U_{\Gamma}\$ 与 \$\bar{F}_n, \bar{F}_{\Gamma}\$ 的含义自明。
 将(2.2)作块 Gauss 消元，可得

$$CU_{\Gamma} = b \tag{2-3}$$

$$b = F_{\Gamma} - Q L_n^{-1} F_n \tag{2-4}$$

$$C = L_{\Gamma} - Q L_n^{-1} R \tag{2-5}$$

$$b = \begin{bmatrix} b_{\Gamma 1} \\ \vdots \\ b_{\Gamma n} \end{bmatrix}, \quad b_{\Gamma i} = \begin{cases} F_{\Gamma i} - 2R_{1i}^T L_{n1} F_{n1} & (i=1) \\ F_{\Gamma i} - R_{1i}^T L_{n1} F_{n1} - F_{\Gamma i} - R_{1i}^T L_{n2} F_{n2} & (i=2, \dots, p) \\ F_{\Gamma i} - 2R_{1i}^T L_{n1} F_{n1} & (i=p) \end{cases} \tag{2-6}$$

$$A_i = -R_{1i}^T L_{n1} R_{1i} \quad (i=2, \dots, p) \tag{2-7a}$$

$$B_i = \begin{cases} L_{\Gamma i} - 2R_{1i}^T L_{n1} R_{1i} \\ L_{\Gamma i} - R_{1i}^T L_{n1} R_{1i} - R_{1i}^T L_{n2} R_{2i} & (i=2, \dots, p) \\ L_{\Gamma i} - 2R_{1i}^T L_{n1} R_{1i} & (i=p) \end{cases} \tag{2-7b}$$

$$C_i = -R_{1i}^T L_{n1} R_{1i} \quad (i=1, \dots, p) \tag{2-7c}$$

$$C = \begin{bmatrix} B_1 & C_1 \\ A_2 & B_2 \\ \vdots & \vdots \\ A_p & B_p \end{bmatrix}$$

有类似(2.3)系非常量方程组，系矩阵 \$C\$ 称作块矩阵，我们由(2.3)的解 \$U_{\Gamma}\$，即可通过如下 \$n-1\$ 个子问题

$$L_{\Omega_i} U_{\Omega_i} = F_{\Omega_i} - R_{i,i} U_{\Gamma} - R_{i,i+1} U_{\Gamma} \quad (i=1, 2, \dots, p) \tag{2-8}$$

的求解而得各子区域上的解 \$U_{\Omega_i}\$。(2.8)的求解可利用快速算法，因此问题的求解系矩阵(2.3)。通常，由(2.7a)~(2.7c)求出各子区域上的解 \$U_{\Omega_i}\$ 后，一种避免直接求解非常量方程组而采用(2.3)的求解策略是采用快速共轭梯度法(参看(4)(8))。但对于本文所考虑的问题，我们可求出矩阵 \$A_i, B_i\$ 和 \$C_i\$ 的特征分解，因而可以获得一种不形成 \$C\$ 的求解(2.3)的快速算法。

2.2 矩阵 \$A_i, B_i\$ 和 \$C_i\$ 的特征分解

首先，引进修正的 Chebyshev 多项式 \$S_k(x)\$，其定义为

$$S_k(x) = \begin{cases} S_k(x) = x, & S_k(x) = x S_{k-1}(x) - S_{k-2}(x) \quad (k \geq 2) \end{cases}$$

\$S_k(x)\$ 有如下不同的表示形式

$$S_k(x) = \begin{cases} \sin(k\theta) / \sin \theta, & \cos \theta = x, \quad 0 \leq x < 1; \\ k+1, & x = 1; \\ \sin(k+\frac{1}{2})\theta / \sin \frac{1}{2}\theta, & \cos \theta = x, \quad x > 1; \end{cases} \tag{2-9}$$

$$S_k(x) = \frac{y^{k+1} - y^{-(k+1)}}{y - y^{-1}}, \quad y = \frac{x + \sqrt{x^2 - 1}}{x - 1}, \quad x > 1, \tag{2-10}$$

$$S_k(x) = \prod_{j=1}^k (x - r_k^j), \quad r_k^j(x) = 2 \cos \left(\frac{j\pi}{k+1} \right)$$

若假定 \$S_{-1}(x) = 0\$，则 \$S_k(x)\$ (\$k=1, 0, 1, \dots\$) 具有性质

$$S_i(x) S_j(x) - S_{i-1}(x) S_{j-1}(x) = S_{i+j}(x), \quad 1 \leq k \leq j, \quad j > 0, \tag{2-11}$$

关于修正的 Chebyshev 多项式的某些性质可参看(1)(9)。

\$\rightarrow\$ 块三对角矩阵

$$M_k = \begin{bmatrix} H & -I \\ -I & H \\ \vdots & \vdots \\ -I & H \end{bmatrix}, \quad \text{其中 } H \text{ 为方阵。}$$

我们得

引理1 矩阵 \$M_k\$ 非奇异的充要条件是 \$S_k(H)\$ 非奇异。此时，\$M_k\$ 可表为分块形式 \$M_k^{-1} = [M_{ij}]\$，其中

$$M_{ij} = \begin{cases} S_k^T(H) S_{k+1}(H) S_k(H) & -j > i; \\ S_k^T(H) S_j^T(H) S_k(H), & i \geq j. \end{cases} \tag{2-12}$$

证明: 参看(1)。

$$\alpha_j = 4 \sqrt{\sin^2 \frac{\pi}{2n}} \cdot \tilde{\alpha}_j = (1 + \sqrt{2} \sqrt{1 - \sqrt{1 + \sqrt{5} \sqrt{4}}})^2 \quad (2.13)$$

$$W = (W_0, W_1, \dots, W_{n-1}) \quad (2.14)$$

$$W_i = \left(\frac{1}{2}(1, \dots, 1)^T, \cos(\frac{2\pi i}{n}), \cos(2 \cdot \frac{2\pi i}{n}), \dots, \cos((n-1) \cdot \frac{2\pi i}{n}) \right)^T \quad (i=1, \dots, n-1)$$

$$\left(\frac{1}{2}(1, -1, \dots, (-1)^{n-1})^T \right)^T \quad (i=n)$$

原解
定理1 矩阵A1, B1和C1具有相同的特征向量W(1=0, \dots, n-1)且

$$W^T A_1 W = D_1 = \text{diag} \{ \alpha_0, \alpha_1, \dots, \alpha_{n-1} \}$$

$$W^T B_1 W = A_1 = \text{diag} \{ \beta_0, \beta_1, \dots, \beta_{n-1} \}$$

$$W^T C_1 W = E_1 = \text{diag} \{ \gamma_0, \gamma_1, \dots, \gamma_{n-1} \}$$

$$\alpha_0 = \frac{1}{m(i=0)}, \quad (i=2, \dots, p), \quad \alpha_j = -\frac{1}{2} \gamma_j \left(1 - \frac{1}{2} \gamma_j^{2m(i=0)} \right) \quad (i=2, \dots, p) \quad (2.16a)$$

$$\beta_0 = \begin{cases} 2/(m(i=0)) & (i=1) \\ \frac{2(1 + \frac{1}{2} \gamma_j^{2m(i=0)})}{1 + \frac{1}{2} \gamma_j^{2m(i=0)} + \sqrt{1 + \frac{1}{2} \gamma_j^{2m(i=0)}}} & (i=2, \dots, p) \\ \frac{2(1 + \frac{1}{2} \gamma_j^{2m(i=0)})}{1 - \frac{1}{2} \gamma_j^{2m(i=0)} + \sqrt{1 + \frac{1}{2} \gamma_j^{2m(i=0)}}} & (i=2, \dots, p) \end{cases} \quad (2.16b)$$

$$\gamma_j = \alpha_j^{1/(2m(i=0))} \quad (i=1, \dots, p-1), \quad \gamma_j = \beta_j^{1/(2m(i=0))} \quad (i=p) \quad (2.16c)$$

证明 令 $T = T$ 则 $L_{R_1} = M_{m(i=0)}, L_{C_1} = M_1$

$$B_1 = T - [0 \dots 0 - I] M_{m(i=0)}^{-1} \begin{bmatrix} 0 \\ 0 \\ 1 \end{bmatrix} - [I \ 0 \dots 0] M_{m(i=0)}^{-1} \begin{bmatrix} 1 \\ 0 \\ 0 \end{bmatrix}$$

$$= T - S_{m(i=0)}^{-1}(T) S_{m(i=0)}(T) - S_{m(i=0)}^{-1}(T) S_{m(i=0)}(T)$$

$$= S_{m(i=0)}^{-1}(T) S_{m(i=0)}(T) + m(i=0) + (T) S_{m(i=0)}(T)$$

$$B_1 = T - 2[-I \ 0 \dots 0] M_{m(i=0)}^{-1} \begin{bmatrix} 0 \\ 0 \\ 1 \end{bmatrix} = T - 2 S_{m(i=0)}^{-1}(T) S_{m(i=0)}(T)$$

$$= S_{m(i=0)}^{-1}(T) S_{2m(i=0)}(T) S_{m(i=0)}^{-1}(T)$$

$$B_p = T - 2[0 \dots 0 - I] M_{m(p-1)}^{-1} \begin{bmatrix} 0 \\ 0 \\ 1 \end{bmatrix}$$

$$= T - 2 S_{m(p-1)}^{-1}(T) S_{m(p-1)}(T)$$

$$= S_{m(p-1)}^{-1}(T) S_{2m(p-1)}(T) S_{m(p-1)}^{-1}(T)$$

$$A_i = -S_{m(i=0)}^{-1}(T) \quad (i=2, \dots, p)$$

$$C_j = -S_{m(i=0)}^{-1}(T) \quad (i=1, \dots, p-1)$$

由此可知, 所有A1, B1和C1的特征向量与T相同的特征向量, 且它们的特征值都是T的特征值的平方根或负平方根, 由(2.14)知, T的特征值为

$$\lambda_j = 2(1 + 2 \cos^2 \frac{\pi j}{2n}) \quad j=0, \dots, n-1$$

相应的特征向量由(2.14)给出, 不难看出矩阵A1, B1和C1的特征值分别为

$$\alpha_j = \frac{1}{2} S_{m(i=0)}^{-2}(\lambda_j) \quad (i=2, \dots, p), \quad \lambda_j = \frac{1}{2} S_{m(i=0)}^{-2}(\lambda_j) = \alpha_j^{1/(2m(i=0))} \quad (i=1, \dots, p-1)$$

$$\beta_j = \begin{cases} S_{m(i=0)}^{-2m(i=0)}(\lambda_j) / S_{2m(i=0)}(\lambda_j) & (i=1) \\ S_{m(i=0)}^{-2m(i=0)}(\lambda_j) / S_{m(i=0)}(\lambda_j) S_{m(i=0)}(\lambda_j) & (i=2, \dots, p-1) \\ S_{m(p-1)}^{-2m(p-1)}(\lambda_j) / S_{2m(p-1)}(\lambda_j) & (i=p) \end{cases}$$

利用(2.9), (2.10)和(2.13)对上述特征值得(2.16a)~(2.16c), 证毕。

2.3 区域分裂法递推法

根据定理1, 我们可将方程组(2.3)写成

$$\begin{bmatrix} A_1 \tilde{u}_1 \\ B_1 \tilde{u}_1 \\ \vdots \\ B_p \tilde{u}_p \\ C_p \tilde{u}_p \end{bmatrix} = \begin{bmatrix} \tilde{b}_1 \\ \tilde{b}_2 \\ \vdots \\ \tilde{b}_p \\ \tilde{b}_p \end{bmatrix}$$

这里

$$\tilde{u}_i = W^{-1} \tilde{u}_i \quad (i=1, \dots, p)$$

$$\tilde{b}_i = W^{-1} b_i \quad (i=1, \dots, p) \quad (2.17)$$

$$(p = 0, i, \dots, n) \quad (2.18)$$

$$(2.17) \text{可写成如下}(n+1) \text{个独立的三对角方程组}$$

$$\begin{bmatrix} \tilde{u}_{ij} \\ \tilde{u}_{ij} \\ \vdots \\ \tilde{u}_{ij} \end{bmatrix} = \begin{bmatrix} \tilde{b}_{ij} \\ \tilde{b}_{ij} \\ \vdots \\ \tilde{b}_{ij} \end{bmatrix} \quad (p = 0, i, \dots, n)$$

$$\tilde{u}_i = (\tilde{u}_{i1}, \tilde{u}_{i2}, \dots, \tilde{u}_{ip})^T, \quad \tilde{b}_i = (\tilde{b}_{i1}, \tilde{b}_{i2}, \dots, \tilde{b}_{ip})^T \quad (i=1, \dots, p)$$

至此, 我们不必求出容量矩阵C, 而只须通过(2.20)的递推并利用(2.19)和(2.18)作两次FFT即可求出界面上的解 $u_{ij} \quad (i=1, \dots, p)$ 。

综上所述, 我们将并行系数的区域上 Poisson 方程 Laplace 方程问题的区域分裂法递推法叙述如下。

算法 DDFPS

步骤1 按(2.6)求初始值 b_i , 即

$$\text{① 求积 } L_{\alpha_j} \tilde{u}_{\alpha_j} = F_{\alpha_j} \quad (i=1, 2, \dots, p)$$

$$\text{② 计算 } \tilde{b}_i = \begin{cases} \tilde{b}_i - 2 \tilde{u}_{\alpha_j} \tilde{u}_{\alpha_j} & (i=1) \\ \tilde{b}_i - \tilde{u}_{\alpha_j} \tilde{u}_{\alpha_j} & (i=2, \dots, p) \end{cases}$$

$$\tilde{b}_i = \tilde{b}_i - \tilde{u}_{\alpha_j} \tilde{u}_{\alpha_j} \quad (i=2, \dots, p)$$

双曲型守恒律的区域分裂算法

王忠傅
(南京航空学院数理力学系)

本文通过修改 Muscol 型格式, 提出了一类解双曲型守恒律方程的区域分裂算法, 并应用到解气动力学方程。这一类算法是一致二阶精度ENO的, 当捕捉间断解时具有高分辨率, 并且易于实现。

(1. 1) 引言 本文主要研究如下双曲型守恒律的初值问题 (IVP) 的数值解:

$$\frac{\partial U}{\partial t} + f(U) = 0, \quad U(x, 0) = U_0(x), \quad x \in \mathbb{R}$$
 这里 $U \in \mathbb{R}^n, f: \mathbb{R}^n \rightarrow \mathbb{R}^n, U_0(x)$ 是周期的或具有紧支集的逐段光滑函数。

区域分裂法已在用并行计算机解流体力学、天气预报和结构分析中的微分方程中起着越来越重要的作用。近几年来, 大多数研究工作主要是应用区域分裂法解椭圆型偏微分方程, 而很少涉及双曲型问题, 特别是非线性双曲型问题。

本文的主要工作是提出了一类解 IVP (1.1) 的带重叠和不带重叠混合的区域分裂算法, 这类算法是一致二阶精度ENO的, 并能正确分解间断解。全文工作安排如下: 第二节, 提出了一类解 IVP (1.1) 的区域分裂法, 第三节, 应用这类算法解气动力学中的 Euler 方程。

2. 一类新的区域分裂算法

让 $\{j \in \mathbb{Z} \mid x \in [t_j, t_{j+1})\}$, 这里 $t_j = (X_j \delta t)^n, X_j = (X_j \delta t)^n, X_j \alpha = kh, tk = kv$, 是 $\mathbb{R} \times \mathbb{R}^n$ 的一个剖分, v_j^* 为 IVP (1.1) 的数值逼近。
 A. Harten 在文 (2) 中, 考虑了一类逼近 Godunov 型格式

$$(2.1a) \quad v_j^{k+1} = A(v_j^*) E(\tau) L(v_j^*)$$

$$(2.1b) \quad L(v_j^*) = v_j^* + s_j^*(x - x_j^*), \quad x \in I_j$$

的 Muscol 型格式:

$$(2.2a) \quad v_j^{k+1} = v_j^* E_{\text{so}} - \lambda \left(f_{j+1/2}^* - f_{j-1/2}^* \right)$$

$$(2.2b) \quad f_{j+1/2}^* = v_{j+1/2}^* h \left(v_{j+1/2}^* - v_{j-1/2}^* \right), \quad v_{j-1/2}^* = v_j^* / 2$$

$$(2.2c) \quad v_{j+1/2}^* = v_j^* + h \left(1 - \lambda a_{j+1/2}^* \right) s_{j+1/2}^* / 2$$

$$(2.2d) \quad v_{j-1/2}^* = v_j^* - h \left(1 + \lambda a_{j-1/2}^* \right) s_{j-1/2}^* / 2$$

其中

$$S_j \text{ 满足: } S_j = W_j(X_j) + O(h^2)$$

$$(2.2d) \quad S_j = W_j(X_j) + O(h^2)$$

这类格式是一致二阶精度在ENO的, 但不能正确分解接触间断解, 为此, A. Harten

(2) 修改逐段线性重新构造 (2.1b) 如下:

$$(2.3a) \quad \sigma_j = |d_j| L(x_j; \bar{w}_j)$$

$$F_j(x) = \sqrt{h} \int_{x_j-1/2}^{x_j+1/2} L_{j-1}(x; \bar{w}_j) dx + \int_{x_j+1/2}^{x_j+1} L_{j+1}(x; \bar{w}_j) dx - \sqrt{h} \sigma_j$$

$$(2.3b) \quad F_j(x; \bar{w}_j) \cdot F_j(x; \bar{w}_j) \leq 0$$

$$(2.3c) \quad \sigma_j > \sigma_{j-1}, \quad \sigma_j \geq \sigma_{j+1}$$

则定义

$$(2.3c) \quad \hat{L}_j(x; \bar{w}_j) = \begin{cases} L_{j-1}(x; \bar{w}_j), & x_j - 1/2 < x < \theta_j \\ L_j(x; \bar{w}_j), & \theta_j < x < x_j + 1/2 \end{cases}$$

$$(2.3d) \quad \hat{L}_j(x; \bar{w}_j) = L_j(x; \bar{w}_j)$$

否则

$$(2.3d) \quad \hat{L}_j(x; \bar{w}_j) = L_j(x; \bar{w}_j)$$

(2.3d) $\hat{L}_j(x; \bar{w}_j) = L_j(x; \bar{w}_j)$

可参见, 关于椭圆型方程 Neumann 问题的数值解法, 应用数学与计算数学, 第 1 卷, 第 2 期, pp121-130(1964).
 ② B.L. Johnson, Solving tridiagonal systems on ensemble architectures, SIAM J. Sci. Stat. Comput., Vol. 8, No. 3(1987), 354-382.

③ R.E. Koles and M.B. Cooper, A comparison of domain decomposition techniques for elliptic partial differential equations and their implementation, SIAM J. Sci. Stat. Comput., 8(1987), 5166-5202.

④ 陆宗志, 超立方机上一轮流问题的并行求解, 数值计算与计算机应用.

⑤ 陆宗志, 稀疏约简法在并行求解, 计算数学.

⑥ Lu Yi-jun, Hypercube algorithms for solving tridiagonal linear systems of equations, J. Comput. Math.

⑦ O. Kechen and E. Van de Velde, Hypercube algorithms and implementations, SIAM J. Sci. Stat. Comput., 2(1987), 227-237.

⑧ P.N. Swartztraube, The methods of cyclic reduction, Fourier analysis and the FFT algorithms for the discrete solution of Poisson's equation on a rectangle, SIAM Review, Vol. 19, No. 3(1977), 490-501.

A DOMAIN-DECOMPOSED FAST ALGORITHM FOR SOLVING POISSON'S EQUATION WITH NEUMANN BOUNDARY CONDITION

Lu Yi-jun
Mansheng University
(Huazhong Univ. of Sci. and Tech.)

ABSTRACT-- In this paper, a domain-decomposed fast direct algorithm for solving Poisson's equation with Neumann boundary condition on a rectangle is proposed. Based on the Chebyshev polynomial representation of inverting block tridiagonal matrix, the eigenvalues and eigenvectors of the capacitance matrix can be obtained. Thus the solution of the capacitance equations are computed by FFT and the solution of tridiagonal linear equations, without computing or inverting the capacitance matrix. The solution of Poisson's equations with Dirichlet boundary condition on subdomains can be computed independently. Theoretical analysis of the feasibility of the algorithm is given. The implementing scheme of the algorithm on hypercube multiprocessor is discussed and its complexity conclusion is obtained. Finally, the comparison between the algorithm and the matrix decomposition method based on Fourier analysis verifies that the domain decomposed fast direct algorithm is an efficient hypercube algorithm.

[1] Juan Camilo Meza and W. H. Symes, "Domain Decomposition Algorithms for Linear Hyperbolic Equations" Technical Report 87-20, August 28, 1987, Rice University.
 [2] A. Harten, "ENO Scheme With subcell Resolution." ICASE Report No. 87-56

Domain Delomposition Method for Hyperbolic Conservation Laws

Wang Zhongde
 (Dept. of Math. and Mechanics
 Nanjing Aeronautical Institute)
 ABSTRACT

In this paper, we propose a class of Domain Decomposition Method for solving hyperbolic Conservation laws by modifying MUSCL-type schemes, and apply them to solve the equations of Gas dynamics. This methods are uniformly second-order accurate ENO. When Capturing the Contact discontinuities, they accurate subcell resolution and are easy to make into practice.

并修正数值通量 (2.2b) 如下:

$$F_{j+1/2}^{k,n} = \frac{1}{2} (F_{j+1/2}^{k,n} + F_{j+1/2}^{k,n+1}) + \frac{1}{2} \frac{v_{j+1/2}^{k,n} - v_{j+1/2}^{k,n+1}}{v_{j+1/2}^{k,n} + v_{j+1/2}^{k,n+1}} (F_{j+1/2}^{k,n} - F_{j+1/2}^{k,n+1})$$
 修正后的这类二阶精度ENO格式,能正确分解接触间断,具有子分辨率。
 我们利用 (2.3) 直接对 (1.4) 略作修改,而不加校正项 $\delta_{j+1/2}^{k,n}$ 。这一修改方法比 A. Harten 的修改方法简洁的多。结合这一修改,我们提出解 IVP (1.1) 的区域分裂算法如下:
 1) 设已给定了 $V_j^k, V_{j+1/2}^k$ 。
 2) 由如下方法计算 $V_{j+1/2}^{k,n}$ 和 $V_{j+1/2}^{k,n+1}$ 上的一个区域分裂 (不带重叠) 和 $F_{j+1/2}^{k,n}, F_{j+1/2}^{k,n+1}, I_{j+1/2}^{k,n}, I_{j+1/2}^{k,n+1}$ 的端点确定如下: 若在 $I_{j+1/2}^{k,n}$ 中, $0_j > 0_{j+1/2} > 0_{j+1}$ 和 $0_j > 0_{j+1/2} > 0_{j+1}$, 则令 $S_j^k = 0_j$ (端点 $S_j^k = 0_j$ 在 $I_{j+1/2}^{k,n}$ 中的一个扇)。
 (2) 在每一子区域 $I_{j+1/2}^{k,n}, I_{j+1/2}^{k,n+1}$ 上,我们利用 (2.2), 并应用带重叠的区域分裂法进行计算,其中 $V_{j+1/2}^{k,n}, V_{j+1/2}^{k,n+1}$ 分别修改如下:

$$V_{j+1/2}^{k,n} = V_{j+1/2}^{k,n-1} + n \frac{(Q_j^k - Q_{j+1}^k) V_{j+1/2}^{k,n-1} - \lambda a_{j+1/2}^{k,n}}{(Q_j^k - Q_{j+1}^k) V_{j+1/2}^{k,n-1} - \lambda a_{j+1/2}^{k,n}} S_{j+1/2}^{k,n} / 2$$

$$V_{j+1/2}^{k,n+1} = V_{j+1/2}^{k,n} - h \frac{(Q_j^k - Q_{j+1}^k) V_{j+1/2}^{k,n} - \lambda a_{j+1/2}^{k,n+1}}{(Q_j^k - Q_{j+1}^k) V_{j+1/2}^{k,n} - \lambda a_{j+1/2}^{k,n+1}} S_{j+1/2}^{k,n+1} / 2$$
 其余不变。
 (3) $V_{j+1/2}^{k,n}$ 和 $R_{j+1/2}^{k,n}$ 上的整体解按如下方法构成:
 设 I_1, I_2 是区间的两个部分, V_1, V_2 和 V 分别为 I_1, I_2 和 I 上的解, 若 I_1, I_2 不带重叠, 则 $V = V_1 \cup V_2, X \in I_j, (j=1, 2)$ 给 I_1, I_2 带重叠, 则 $V = \{V_1, V_2, X \in I_1 \cap I_2\}$

§3. 在解气体动力学方程中的应用
 考虑气体动力学中的 Euler 方程

$$(3.1a) \quad U_t + f(u) = 0$$

$$(3.1b) \quad U = (f, m, E)^T$$

$$(3.1c) \quad f(u) = qu + (0, p, qp)^T$$

$$(3.1d) \quad p = (y-1)(E - 1/2 \rho q^2)$$
 这里 ρ, q, p 和 E 分别是密度, 速度压力和总能, $m = \rho q$ 是质量, 我们取 $\gamma = 1.4$ 记 $\alpha_{j+1/2}^k$ 为 $\Delta x_{j+1/2}^k$ 的特征值为 $\alpha_{j+1/2}^k, \alpha_{j+1/2}^{k+1}$ 相等的左, 右特征向量分别为 $\{(\alpha_{j+1/2}^k)^T, (\alpha_{j+1/2}^{k+1})^T\}$ 。我们给出 §2 中用到的几个关键公式如下:
 (1) 选取 $(2.2b)$ 中的 $h_{j+1/2}^k (V_j^k, V_{j+1/2}^k)$ 为 $\frac{1}{2} (v_{j+1/2}^k + f(v_{j+1/2}^k) - \sum_{k=1}^K |a_{j+1/2}^k| a_{j+1/2}^k R_{j+1/2}^k)$
 (2) 选取满足 (2.2d) 中 S_j 如下:

$$(3.3a) \quad S_j^k = m(S_j^k, S_j^k)$$

$$(3.3b) \quad S_j^k = 1/h(\alpha_{j+1/2}^k, S_j^k) - 1/2 D_{j+1/2}^k (V_{j+1/2}^k, w)$$

$$(3.3c) \quad S_j^k = 1/h(\alpha_{j+1/2}^k, S_j^k) + 1/2 D_{j+1/2}^k (V_{j+1/2}^k, w)$$

$$(3.3d) \quad D_{j+1/2}^k = m(\alpha_{j+1/2}^k, \alpha_{j+1/2}^k - \alpha_{j+1/2}^{k+1})$$

$$(3.3e) \quad m(x, y) = \begin{cases} \min\{|x|, |y|\}, \text{sgn}(x) = \text{sgn}(y) = s \\ 0, \text{其它} \end{cases}$$
 (3) $F_j^k(x)$, $G_j^k(x)$ 定义如下

$$(3.4a) \quad F_j^k(x) = 1/h \int_{x_j^k}^{x_{j+1/2}^k} L_{j+1/2}^k(x; v_j^k, v_{j+1/2}^k) dx + \int_{x_{j+1/2}^k}^{x_{j+1}^k} L_{j+1/2}^k(x; v_{j+1/2}^k, v_{j+1}^k) dx$$

$$(3.4b) \quad F_j^k(x_{j+1/2}^k) = 1/2 (v_{j+1/2}^k + v_{j+1}^k) - h S_{j+1/2}^k$$

$$(3.4c) \quad F_j^k(x_{j+1/2}^k) = 1/2 (v_{j+1/2}^k + v_{j+1}^k) + h S_{j+1/2}^k$$

$$(3.5) \quad v_j^k = |1/2 (v_j^k + v_{j+1}^k) \cdot S_j^k|$$